

**ВИЗНАЧЕННЯ АБСОЛЮТНОГО ЗНАЧЕННЯ ЕНЕРГІЇ ЧАСТИНОК  
ВИВЕДЕНОГО ПУЧКА ТАНДЕМА ЕГП-10К  
ЗА ДОПОМОГОЮ  $\gamma$ -СПЕКТРОМЕТРІЇ**

О. Ю. Горюнов, І. П. Дряпаченко, Е. М. Можжухін,  
В. І. Ніколаєв, М. В. Стрільчук

*Інститут ядерних досліджень НАН України, Київ*

Зроблено прив'язку абсолютноого значення енергії протонів тандема ЕГП-10К до частоти ядерного магнітного резонансу (ЯМР) датчика поля поворотного магніту-аналізатора СП-88. Для визначення енергії пучка використовувалась реакція  $^{89}\text{Y}(\text{p}, \text{n})^{89}\text{Zr}$ , енергетичний поріг якої 3656,6 кеВ. Для ідентифікації відкриття цього каналу реакції реєструвалися  $\gamma$ -кванти з розрядки збудженого стану 587 кеВ кінцевого ядра  $^{89}\text{Zr}$ . Було визначено частоту ЯМР  $f = 16253,5^{+4,8}_{-8,3}$  кГц, що відповідає абсолютному значенню енергії прискорених протонів 4272 кеВ.

### Вступ

Енергія частинок на виході прискорювача традиційно є визначальною його характеристикою. Супутнім показником якості пучка є розкид енергії прискорених частинок. За цими характеристиками електростатичні прискорювачі недарма вважаються прецизійними, оскільки вони забезпечують пучки заряджених частинок з можливістю плавного регулювання енергії та її розкидом у частки відсотків. У свою чергу це з необхідністю викликає потребу прецизійного визначення цих параметрів пучка для отримання якісних експериментальних даних.

Перезарядний електростатичний прискорювач ІЯД НАН України (тандем ЕГП-10К) зараз забезпечує пучки протонів і дейtronів з енергією від 3 до 7 MeВ. У перших експериментах на виведеному пучку протонів було вимірювано функцію збудження пружного розсіяння  $^{12}\text{C}(\text{p}, \text{p})^{12}\text{C}$  з метою абсолютизації енергії пучка [1]. Значення енергії бомбардуючих протонів 4808 кеВ відповідає резонансу  $5/2^+$  компаунд-ядра  $^{13}\text{N}^*$  з енергією збудження  $E^* = 6364$  кеВ. Прив'язка абсолютноого значення енергії частинок пучка проводилась до частоти ядерного магнітного резонансу (ЯМР) датчика поля поворотного магніту-аналізатора СП-88, який переводить виведений з тандема пучок у горизонтальну площину. Тоді ж передбачалося проведення вимірювань на реакціях  $(\text{p}, \gamma)$ ,  $(\text{p}, \text{n})$  та на більш точно відомих резонансних рівнях. Саме це було виконано зараз через п'ять років, протягом яких система стабілізації напруги високовольтного електрода, а також тракт прискорення та транспортування пучків вдосконалювались, що не могло не позначитись на енергетичних параметрах прискорених іонів на фізичній мішені.

Із відомого співвідношення для оцінки стабільноти енергії електростатичних прискорювачів  $\Delta E/E = 2\Delta R/R = 2\Delta X/L$ , де  $R$  - радіус повороту магніту-аналізатора,  $\Delta R$  - його зміна,  $L$  - відстань від магніту-аналізатора до фізичної мішені та  $\Delta X$  - відхилення (розміри) пучка на мішені, видно, що залежність енергетичного розкиду від  $\Delta R$  передбачає незмінність положення місця входу прискореного пучка в камеру магніту-аналізатора. При відхиленні (зміні) кута входження система стабілізації утримує пучок на виході магніту в одному положенні, змінюючи при цьому його енергію. Іншими словами, просторові коливання пучка в прискорювачі перетворюються у коливання напруги на високовольтному електроді. Так, при  $E_p = 4500$  кеВ,  $L = 900$  см,  $\Delta X = 1$  см енергія змінюється на 10 кеВ, а при  $R = 75$  см і  $\Delta R = 0,1$  см енергія змінюється на 12 кеВ.

У цій роботі презентовано результати перевірки та коректування абсолютизації енергії частинок виведеного пучка тандема ЕГП-10К.

## Експериментальна частина

У даній роботі енергетичні характеристики пучка прискорених іонів визначались за наявністю продуктів ядерної взаємодії при подоланні порогу обраної заздалегідь відповідної ядерної реакції. Нами використовувалась методика вимірювання  $\gamma$ -спектрів

розпаду продуктів ( $p, \gamma$ )-та ( $p, n$ )-реакцій на різних мішнях. На рис. 1 зображено схему іонно-оптичного тракту проходження пучка протонів до досліджуваної мішенні. Пучок протонів з вертикально розташованого тандем-генератора 1 проходить по іонопроводу 2 через поворотний магніт-аналізатор 3 крізь діафрагму з отвором діаметром 6 мм на мішень, розташовану у невеличкій вакуумній камері КП 4, яку виготовлено з органічного скла. Це зроблено для уникнення (зменшення) фону комптонівських електронів з конструкційних матеріалів в районі мішенні, які попадають на детектор. З іншого боку, це забезпечує електричну ізольованість штока з

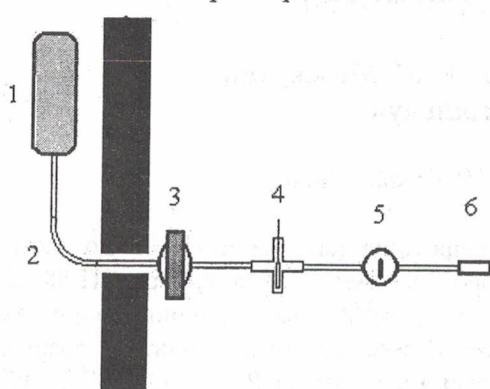


Рис. 1. Схема іонно-оптичного тракту проведення експерименту.

мішенними рамками і дає змогу виміряти (проінтегрувати) заряд, принесений частинками пучка, які зупинились у мішенні. Пучок, що пройшов крізь мішень та реакційну камеру 5, гальмується в циліндрі Фарадея 6 на відстані 3 м. Геометрію та вузли експериментальної установки показано на рис. 2. За мішенною камерою можна побачити торцеву частину корпусу детектора у свинцовому захисті.

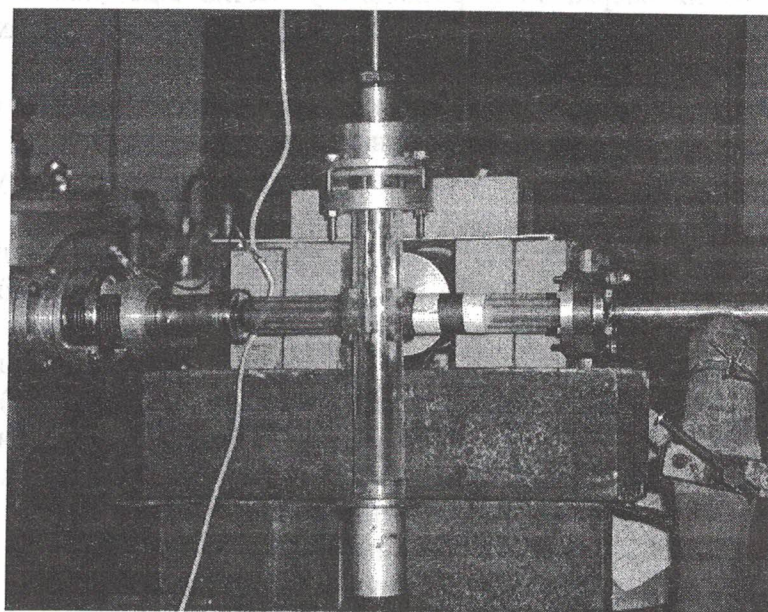


Рис. 2. Вигляд експериментальної установки КП.

Енергія пучка прискорених іонів визначається індукцією магнітного поля в зазорі магніту-аналізатора, яка вимірюється методом ЯМР відповідно до співвідношення між частотою ЯМР ( $f$ ) та індукцією  $B = 0,0234864 \cdot f$ . У роботі [1] було отримано співвідношення

$$k = f / \sqrt{E} = 7,799,$$

яке пов'язує енергію частинок пучка з частотою ЯМР магніту-аналізатора.

За цією формулою обраховано й протабульовано значення частоти ЯМР і відповідні їм значення енергії протонів з кроком 10 кеВ. Установка та зміна енергії прискорених частинок виконується вибором та введенням відповідного значення частоти ЯМР у відповідні електронні й регулюючі пристройі стабілізатора струму магніту-аналізатора.

Стабільність частоти ВЧ-генератора вимірювача індукції методом ЯМР та струму в обмотках магніту-аналізатора має бути дуже високою. Зміна частоти генератора ЯМР на 2,5 кГц на рівні 17 МГц рівнозначна зміні струму в обмотках на 10 мА на рівні 35 А, що становить  $3 \cdot 10^{-4}$ . Реально схеми стабілізації забезпечують довгострокову стабільність  $\leq 10^{-4}$ .

Для визначення отриманої енергії пучка ми використали реакцію  $^{89}\text{Y}(\text{p}, \text{n})^{89}\text{Zr}$ . Енергетичний поріг цієї реакції 3656,6 кеВ. Для ідентифікації відкриття цього каналу реакції було вирішено реєструвати  $\gamma$ -кванти з розрядки збудженого стану 587 кеВ кінцевого ядра  $^{89}\text{Zr}$ . Для реєстрації  $\gamma$ -квантів збудження ядер-продуктів використовувався детектор з надчистого германію об'ємом 180 см<sup>3</sup>. Детектор і спектрометрична лінійка виробництва фірми ORTEC складаються із стандартних NIM-блоків. Високовольтний блок живлення й попередній підсилювач розташовані безпосередньо в боксі з виведеним пучком, а спектрометричний підсилювач та буферна пам'ять - у вимірювальній кімнаті. Накопичена в буфері статистична інформація через інтерфейс скидається у персональний комп'ютер у зручному для подальшої обробки форматі. На початку циклу вимірювань проводились прецизійне настроювання та калібрування спектрометричного тракту (виставлення "0" енергетичної шкали, перехід до енергетичної ціни каналу спектра з 8192 каналів) з використанням  $\gamma$ -джерела  $^{60}\text{Co}$ .

### Результати вимірювань

На рис. 3 представлено спектр  $\gamma$ -квантів, накопичений при опроміненні мішені  $^{89}\text{Y}$  пучком протонів з енергією 4 MeВ. Із струмом пучка на мішені 5 - 10 нА подібні спектри накопичувались за 30 - 50 хв. Для роботи використовувалась ділянка цього спектра від 550 до 600 кеВ (рис. 4). Саме тут майже поруч розташовані  $\gamma$ -лінія 561 кеВ  $^{90}\text{Zr}$ , як кінцевого продукту реакції  $^{89}\text{Y}(\text{p}, \gamma)^{90}\text{Zr}$ , і очікувані  $\gamma$ -кванти з енергією 587 кеВ з реакції  $^{89}\text{Y}(\text{p}, \text{n})^{89}\text{Zr}$ . Як обумовлювалося вище, ці  $\gamma$ -кванти повинні з'явитися у спектрі тоді, коли енергія пучка досягне значення суми порогової енергії ( $\text{p}, \text{n}$ )-реакції на цьому ядрі й енергії збудження відповідного стану кінцевого ядра. Саме це відображене на рис. 4, де наведено спектри

$\gamma$ -квантів, накопичених у послідовних експозиціях з кроковою зміною енергії бомбардуючого пучка у 10 кеВ і виміряних після паузи до 20 хв. На рис. 4 наведено також для кожної енергії відповідні значення частоти ЯМР. Очевидна однозначна ідентифікація відкриття каналу реакції  $^{89}\text{Y}(\text{p}, \text{n})^{89}\text{Zr}$  у цьому невеличкому діапазоні зміни енергії пучка. На рис. 5 представлено оброблені дані цих вимірювань у вигляді залежності співвідношення інтенсивності виходу  $\gamma$ -квантів з ( $\text{p}, \text{n}$ )-та ( $\text{p}, \gamma$ )-реакцій на  $^{89}\text{Y}$  від частоти ЯМР (енергії бомбардуючого пучка протонів). Канал  $^{89}\text{Y}(\text{p}, \gamma)^{90}\text{Zr}$  використовувався для нормування даних щодо вихідного каналу з реакції  $^{89}\text{Y}(\text{p}, \text{n})^{89}\text{Zr}$ .

Статистичні похибки ідентифікації

каналу реакції  $^{89}\text{Y}(\text{p}, \text{n})^{89}\text{Zr}$  збільшуються з наближенням бомбардуючої енергії до порогових значень. Ці похибки задають відповідні межі полоси похибок (за горизонтальною віссю - F, кГц) визначення "порогової" частоти (енергії пучка). З інтерполяційного перетинання цієї осі наведеною кривою та лініями межі полоси похибок було визначено частоту ЯМР, яка відповідає абсолютному значенню енергії прискорених протонів 4272 кеВ, а саме  $f = 16253,5^{+4,8}_{-8,3}$  кГц. Вказані похибки відповідають статистичним похибкам визначення виходу  $\gamma$ -квантів з реакції  $^{89}\text{Y}(\text{p}, \text{n})^{89}\text{Zr}$  і вкладаються у "геометричні" межі наведених міток експериментальних даних. Порівняння отриманих даних із згаданими вище результатами роботи [1] вказують на необхідність їх корекції. Без врахування ефектів

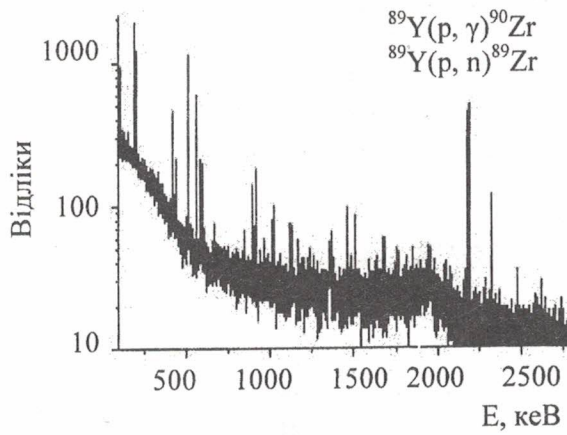


Рис. 3. Спектр  $\gamma$ -квантів з реакцій  $^{89}\text{Y}(\text{p}, \gamma)^{90}\text{Zr}$  та  $^{89}\text{Y}(\text{p}, \text{n})^{89}\text{Zr}$ .

каналу реакції  $^{89}\text{Y}(\text{p}, \text{n})^{89}\text{Zr}$  збільшуються з наближенням бомбардуючої енергії до порогових значень. Ці похибки задають відповідні межі полоси похибок (за горизонтальною віссю - F, кГц) визначення "порогової" частоти (енергії пучка). З інтерполяційного перетинання цієї осі наведеною кривою та лініями межі полоси похибок було визначено частоту ЯМР, яка відповідає абсолютному значенню енергії прискорених протонів 4272 кеВ, а саме  $f = 16253,5^{+4,8}_{-8,3}$  кГц. Вказані похибки відповідають статистичним похибкам визначення виходу  $\gamma$ -квантів з реакції  $^{89}\text{Y}(\text{p}, \text{n})^{89}\text{Zr}$  і вкладаються у "геометричні" межі наведених міток експериментальних даних. Порівняння отриманих даних із згаданими вище результатами роботи [1] вказують на необхідність їх корекції. Без врахування ефектів

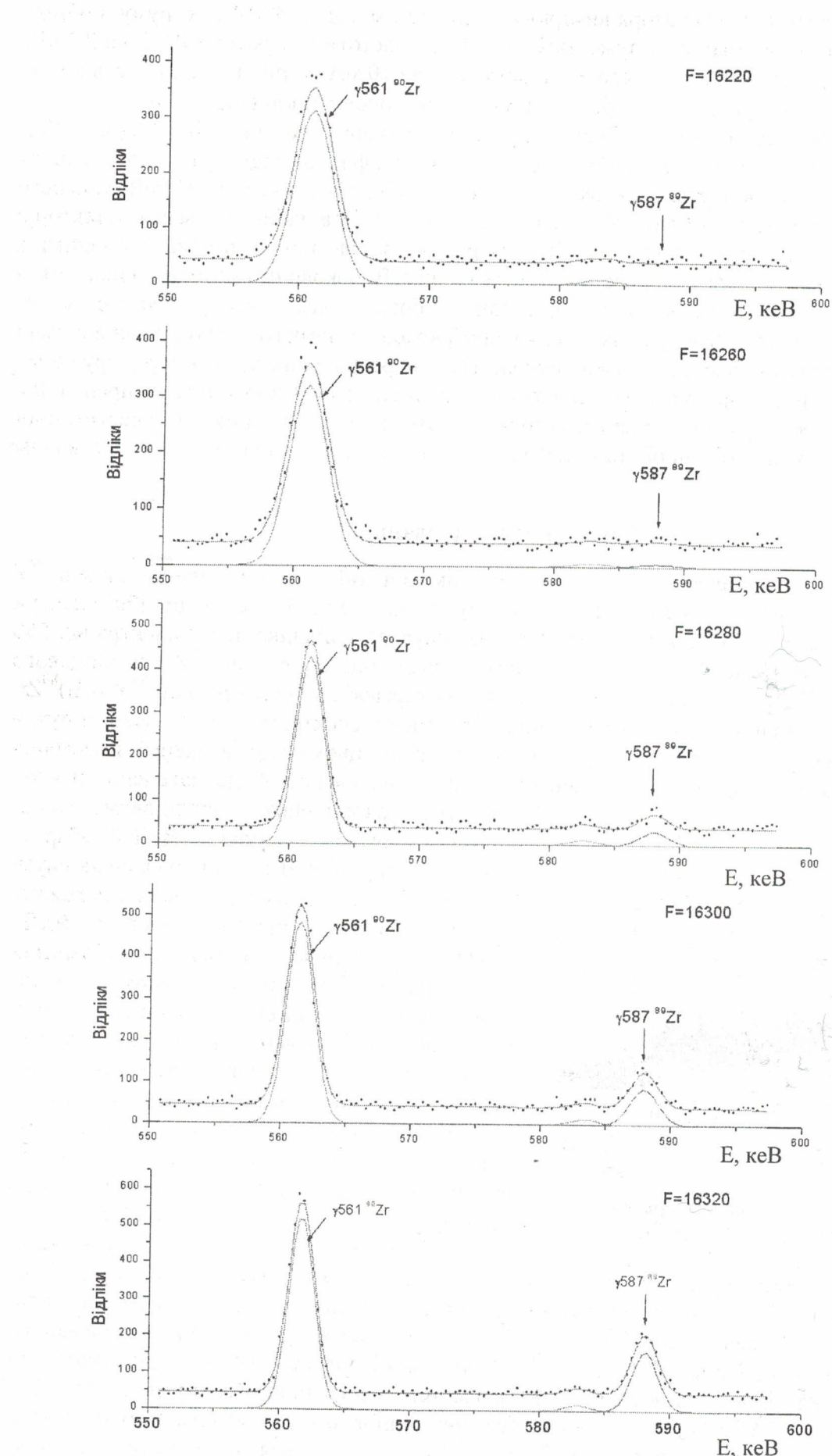


Рис. 4. Послідовні експозиції з кроковою зміною енергії пучка у 10 кеВ.

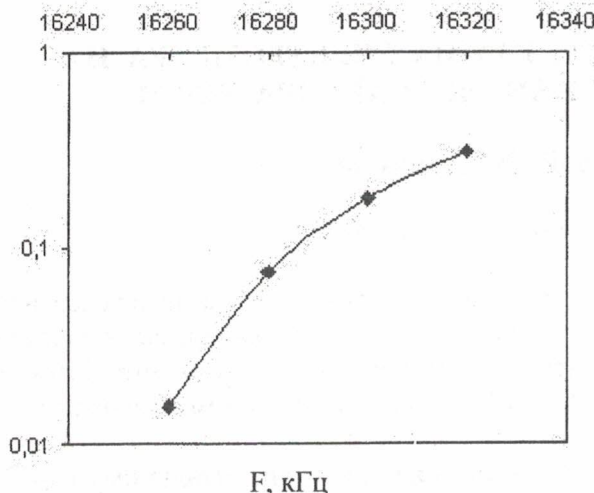


Рис. 5. Залежність від енергії (частоти ЯМР) виходу  $\gamma$ -квантів рівня з енергією 587 кеВ з реакції  $^{89}\text{Y}(\text{p}, \text{n})^{89}\text{Zr}$ .

товщини мішені та повторюваності геометрії іонної оптики виведення пучка на мішень мова йде про розбіжність отриманих раніше й зараз даних у 50 кеВ. Така розбіжність цілком пояснюється зміною положення вхідного та вихідного отвору магніту-аналізатора та корекцією тракту транспортування, які були зроблені при оптимізації величини струму, виведеного з прискорювача.

Автори висловлюють щиру подяку персоналу тандема ЕГП-10К за забезпечення пошукових змінних режимів роботи прискорювача.

#### СПИСОК ЛИТЕРАТУРИ

1. Бобирь В. В., Вишневский И. Н., Горюнов О. Ю. и др. Абсолютизация по энергии пучка протонов тандем-генератора ЭГП-10 // Материалы юбилейной научной конференции НЦ "ЯД". - Киев, 1997. - С. 154 - 155.

#### ОПРЕДЕЛЕНИЕ АБСОЛЮТНОГО ЗНАЧЕНИЯ ЭНЕРГИИ ЧАСТИЦ ВЫВЕДЕННОГО ПУЧКА ТАНДЕМА ЭГП-10К ПРИ ПОМОЩИ $\gamma$ -СПЕКТРОМЕТРИИ

О. Ю. Горюнов, И. П. Дряпаченко, Э. М. Можжухин,  
В. И. Николаев, М. В. Стрильчук

Проведена привязка абсолютного значения энергии протонов тандема ЭГП-10К к частоте ядерного магнитного резонанса (ЯМР) датчика поля поворотного магнита-анализатора СП-88. Для определения энергии пучка использовалась реакция  $^{89}\text{Y}(\text{p}, \text{n})^{89}\text{Zr}$ , энергетический порог которой 3656,6 кэВ. Для идентификации открытия этого канала реакции регистрировались  $\gamma$ -кванты из распада возбужденного состояния 587 кэВ конечного ядра  $^{89}\text{Zr}$ . Была определена частота ЯМР  $f = 16253,5^{+4,8}_{-8,3}$  кГц, которая отвечает абсолютному значению энергии ускоренных протонов 4272 кэВ.

#### DEFINITION OF THE ABSOLUTE ENERGY OF BEAM PARTICLES FROM TANDEM EGP-10K BY MEANS OF $\gamma$ -SPECTROMETRY

O. Yu. Goryunov, I. P. Dryapachenko, E. N. Mozhzhukhin,  
V. I. Nikolaev, N. V. Strilchuk

The attachment of absolute energy of proton beam from tandem EGP-10K to the nuclear magnetic resonance (NMR) frequency of field device put in rotated magnet-analyzer SP-88 has been made. The determination of beam energy was made with the aid of  $^{89}\text{Y}(\text{p}, \text{n})^{89}\text{Zr}$  reaction, where the threshold is 3656 keV. 587 keV level from decay of  $^{89}\text{Zr}$  was used for identification of the reaction. It was determined that NMR frequency  $f = 16253,5^{+4,8}_{-8,3}$  Kc/s corresponds to 4272 KeV proton energy.

Надійшла до редакції 21.11.02,  
після доопрацювання – 27.02.03.